電磁誘導法を用いた RC 構造物の鉄筋防食手法に関する基礎的研究

中央大学 学生会員 ○倪 稚茗 中央大学 正会員 大下 英吉

1. はじめに

現在, RC 構造物に配筋されている鉄筋の電気防食法 として,外部電源法 $^{1)}$ (図-1(a))と流電陽極法 $^{2)}$ (図-1(b)) $^{\hat{\mathbf{L}}$ 流電源 が広く適用されている. それらの手法では、鉄筋を外部 電源或いは鉄よりイオン化傾向が大きい金属と電気的 に接続し、外部直流電流を強制的に付加することで、鉄 筋からコンクリート内部の細孔溶液中への鉄イオンの 放出を抑制するためのものであった. しかしながら,外 部電源法は電源の設置が困難な高所や海岸港湾付近へ の適用は困難であること,流電陽極法は電気防食を行う^{交流電源} 際に使用する陽極材の寿命が比較的短く取替えに係る コストが大きいなどの欠点がある。また、いずれの手法 においても, コンクリートをはつり出さなければならな いという大きな欠点もある.

以上のことから、既往の手法の問題点を解消すべく, また非破壊非接触かつ低コストで作業が簡易で高機能 な新たな電気防食法の開発が急務である.

本研究では、電気防食法の原理に立脚した新たな防食 手法の開発を行なうものである. 具体的には、腐食を誘 発する局部電池の形成を防止する或いはそれが形成さ れたとしても瞬時に消滅させることのできる電磁誘導 法の原理に基づくものである.

2. 電磁誘導法のメカニズム

電磁誘導法を一本の鉄筋に適用した際の概要を図-2 に示す. 本手法では, 交流電源に接続したコイルを鉄筋 表面に配置する. 交流電流を供給することにより, 鉄筋 には磁束線と垂直な誘導電流(渦電流)が誘起される. 腐 食前, 渦電流が鉄筋表面を流れることで, 図-2(a)に示 すように鉄筋表面の電位を強制的に低い方向に移動さ せ、局部電池の形成を防止する、腐食後、局部電池が形 成されるが、同図(b)に示すように健全部の電位が腐食部 と同じ程度まで下がり電位差が消滅し, 形成した局部電 池を破壊する. このことはすなわち, 電磁誘導法による 防食手法は電磁防食法と同じメカニズムであるが、本手 法の大きな特徴は電磁誘導方式を用いることにより、コ

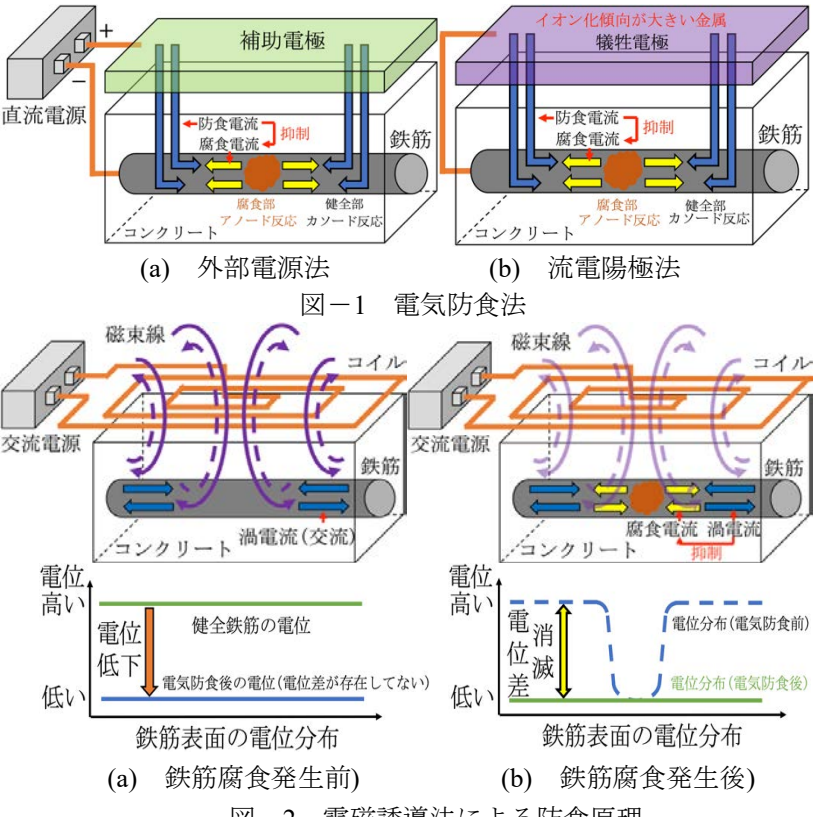
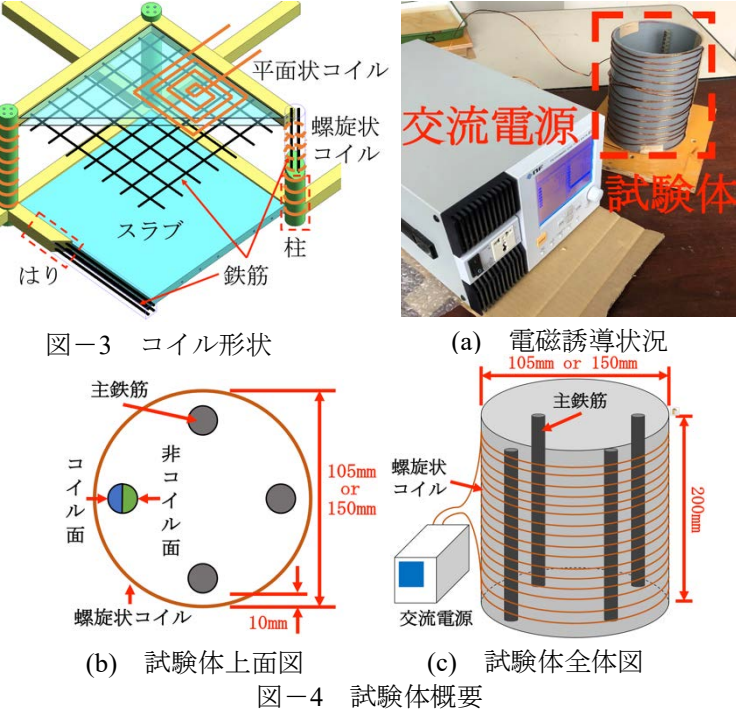


図-2 電磁誘導法による防食原理



ンクリートをはつり鉄筋を露出することなし、非破壊か つ非接触で防食が実施可能であるということである.

キーワード RC 構造物、鉄筋腐食、電気防食、電磁誘導、渦電流

連絡先 〒112-8551 東京都文京区春日1-13-27 中央大学理工学部 コンクリート研究室 Mail: a19.hach@g.chuo-u.ac.jp

0.050 0.011 0.038 0.005 0.181

(直径 150mm 試験体)

腐食率(%):

本手法をRC構造物に適用する際、構造形式によって コイル形状が異なる. すなわち, 図-3 に示すようにス ラブや壁部材では平面状コイル, 柱部材では螺旋状コイ ルである. 本研究では、柱部材に適用する螺旋状コイル を用いて、複数鉄筋を有する試験体を対象とした. 本手 法の防食効果を定量的に評価する.

3. 実験概要

試験体は図-4 に示すように、2mm の径を有する銅線■ を 10mm 間隔で 20 回巻き付け, Φ105mm×200mm と Φ150mm×200mm の二種類の電磁誘導コイルを作成する. かぶり 10mm の位置に D16(SD295)長さ 200mm の鉄筋四 本を円周状に 90°間隔で配置する. 図-4(b)に示すコイル 筋0.15 に近い鉄筋面をコイル面, コイルから遠い鉄筋面を非コ イル面と定義した. 電磁誘導パラメータは電流値と周波 数であり、それぞれ 10.5A、500Hz とする. 鉄筋の前処理 $^{20.05}$ であるが、濃度 10%のクエン酸二アンモニウム溶液に浸 漬することにより不導体皮膜を除去した. また, 実験実 施期間は14日間であり、鉄筋には2日毎に濃度5%の食 塩水を噴霧することで腐食を促進させた.

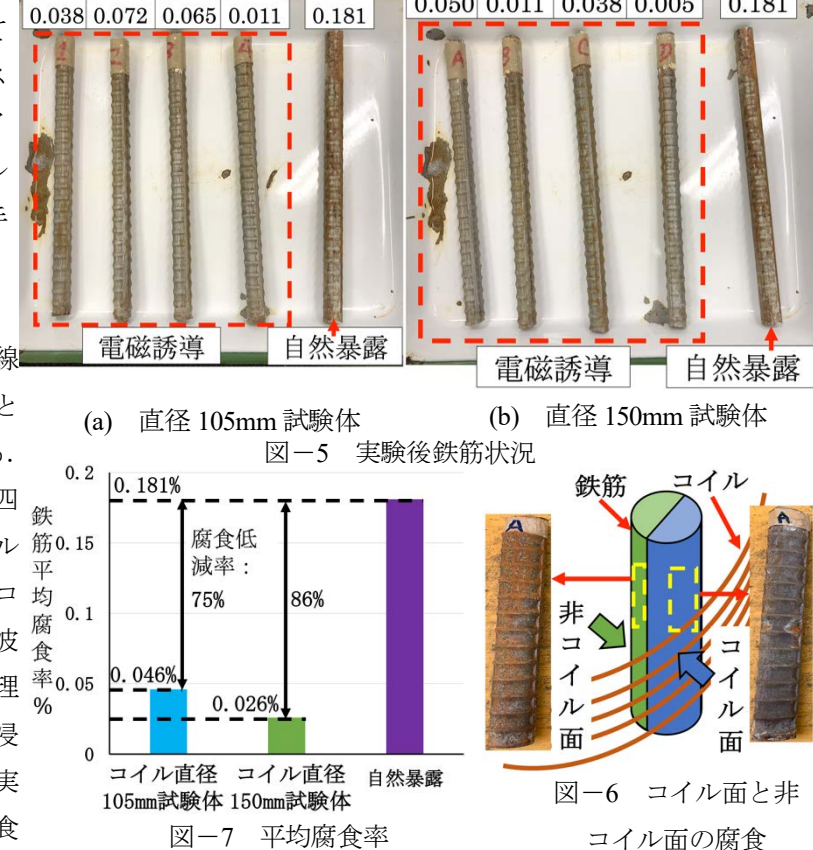
3. 1 腐食率の計測方法

腐食率の測定は,実験開始前に不導体皮膜を除去した 鉄筋の質量を測定し、実験終了後、腐食鉄筋を濃度 10% クエン酸二アンモニウム溶液に 24 時間浸潰させること で腐食生成物を除去した鉄筋の質量を測定する. そして, 鉄筋質量減少量を求め、実験前の鉄筋の質量で除したも のを腐食率と定義した. また、電磁誘導を実施する試験 体と自然暴露試験体の腐食率の減少量、後者で除したも のを腐食低減率と定義した.

3. 2 実験結果および検討

実験終了後の鉄筋の状況および各鉄筋の腐食率を図ー 5に示す、いずれの試験体においても、電磁誘導を実施し た鉄筋では、腐食生成物がほとんど生じていないことに 対して, 自然暴露の鉄筋では腐食生成物が広範囲に渡っ て生じていることがわかる. 本手法の防食効果を確認で きた. 鉄筋のコイル面と非コイル面において生じた腐食 生成物量の差異が存在し、図-6に示す. 直径150mm試験 体を例として、コイル面には錆が少ない、非コイル面に はまだらに錆が確認できる.このことより、非コイル面 と比較してコイル面の方は防食効果が高いことが確認で きる.

また、腐食率には各鉄筋で多少のバラツキは見られた. これは、鉄筋表面における噴霧した塩水の塩分濃度の差



0.181

各試験体における鉄筋の平均腐食率を図-7に示す. 電 磁誘導を実施した試験体の平均腐食率は 0.046%、0.026% となり、自然暴露鉄筋の腐食率は 0.181%となる. 腐食低 減率を比較すると、コイル直径 105mm と 150mm 試験体 の腐食低減率がそれぞれ 75%, 86%となる. したがって, コイルの直径が大きくなるほど, 防食効果が大きくなる傾 向がある.

4. まとめ

によるものと考えられる.

腐食率(%):

本研究で得られた知見を以下に示す.

- (1) 螺旋状コイルを用いて実験を実施し、いずれの試験 体においても防食効果が確認できたため、電磁誘導の原 理を利用した本手法での防食が可能である.
- (2) 電磁誘導で使用するコイルの直径が大きくなるほ
- ど、防食効果が大きくなる傾向がある.
- (3) 鉄筋のコイル面と非コイル面の腐食状況を比較する と、コイル面の防食効果が高いことを確認できた.
- (4) コイル直径 105mm と 150mm 試験体の平均腐食率そ れぞれ 0.046%, 0.026%であり, 自然暴露鉄筋の腐食率 と比較して、腐食率はそれぞれ 75%、86%を低減した.

参考文献

- 鎌原 正夫:外部電源方式電気防食の理論と実際, 日本造船学会誌, 1969 年 476 巻 pp.86-91
- 2) 重野 隼太:流電陽極による電氣防食法,金属表 面技術,1957 年 8 巻 1 号 pp.25-30